

FIG. 3

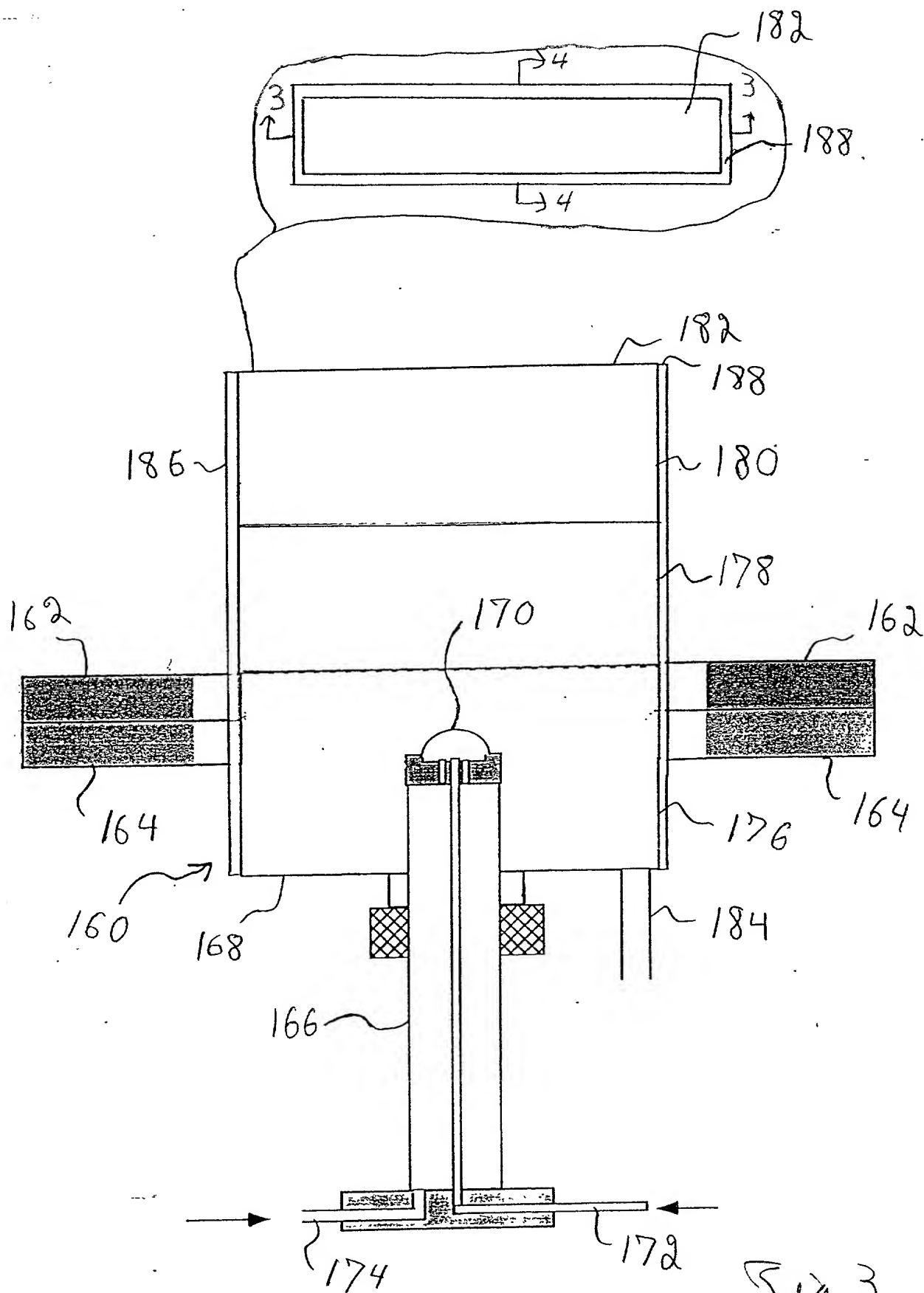


Fig. 3

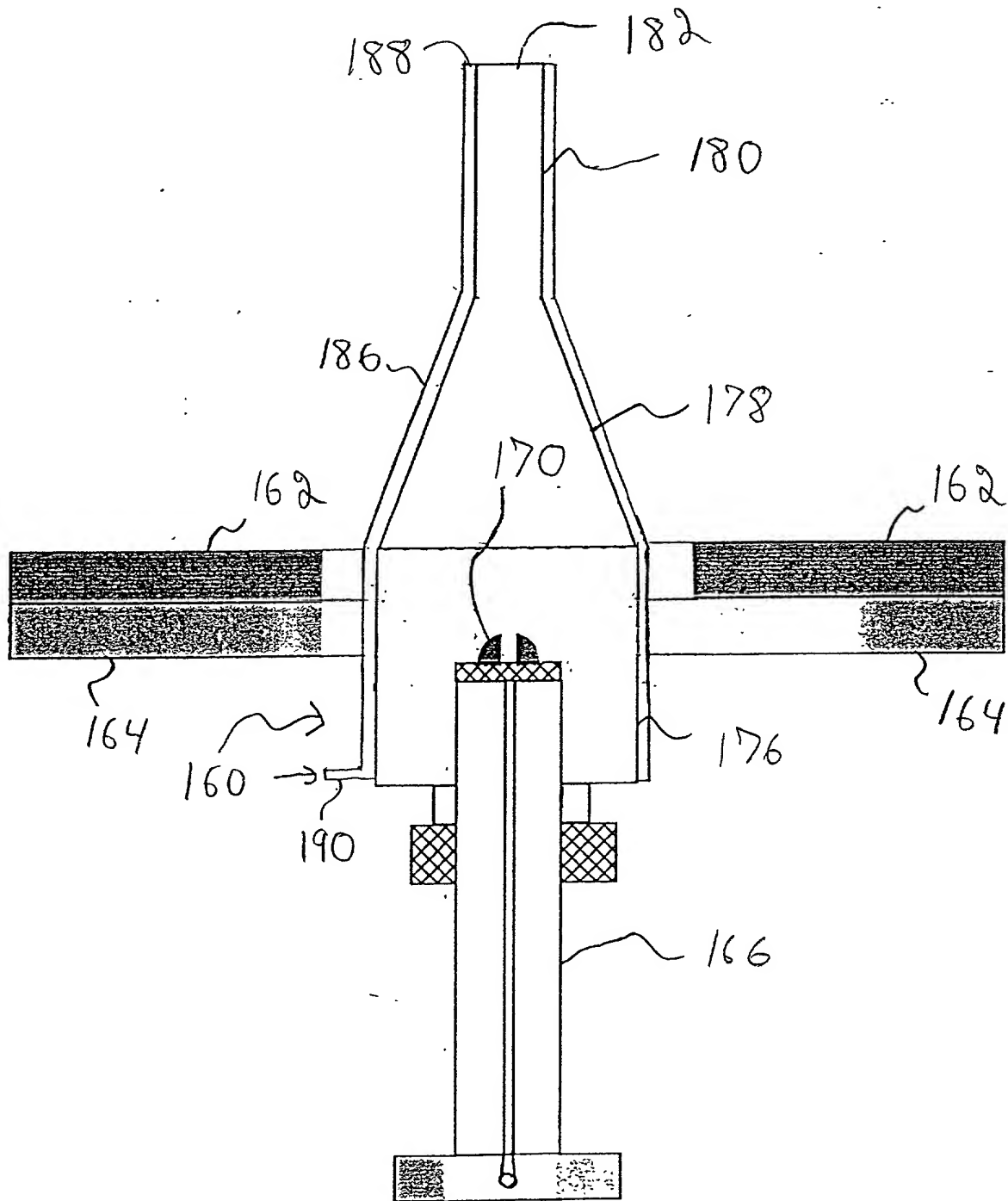


Fig. 4

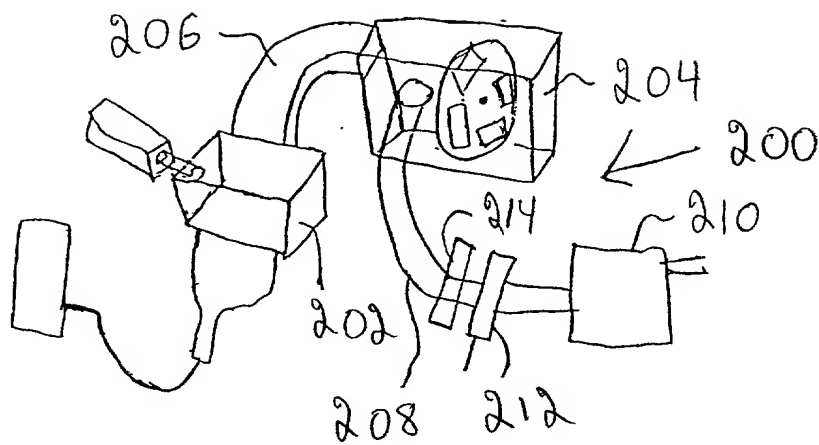


Fig. 5

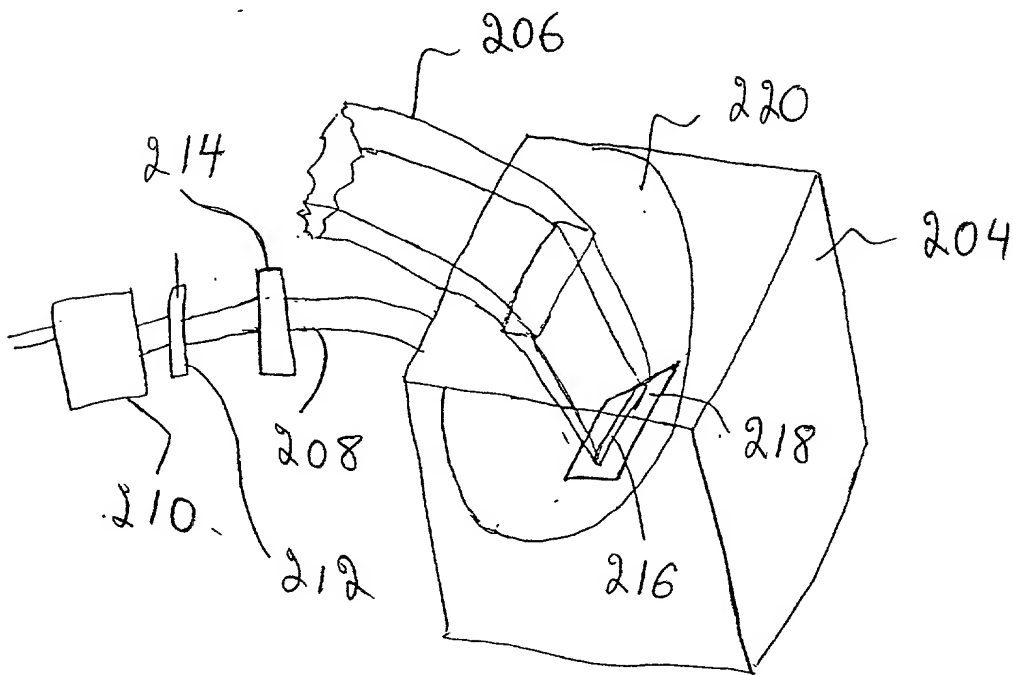


Fig. 6

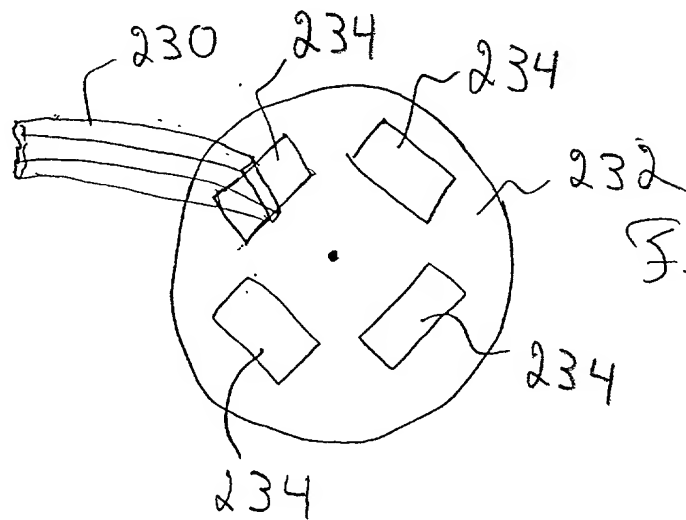


Fig. 7

Fig. 8

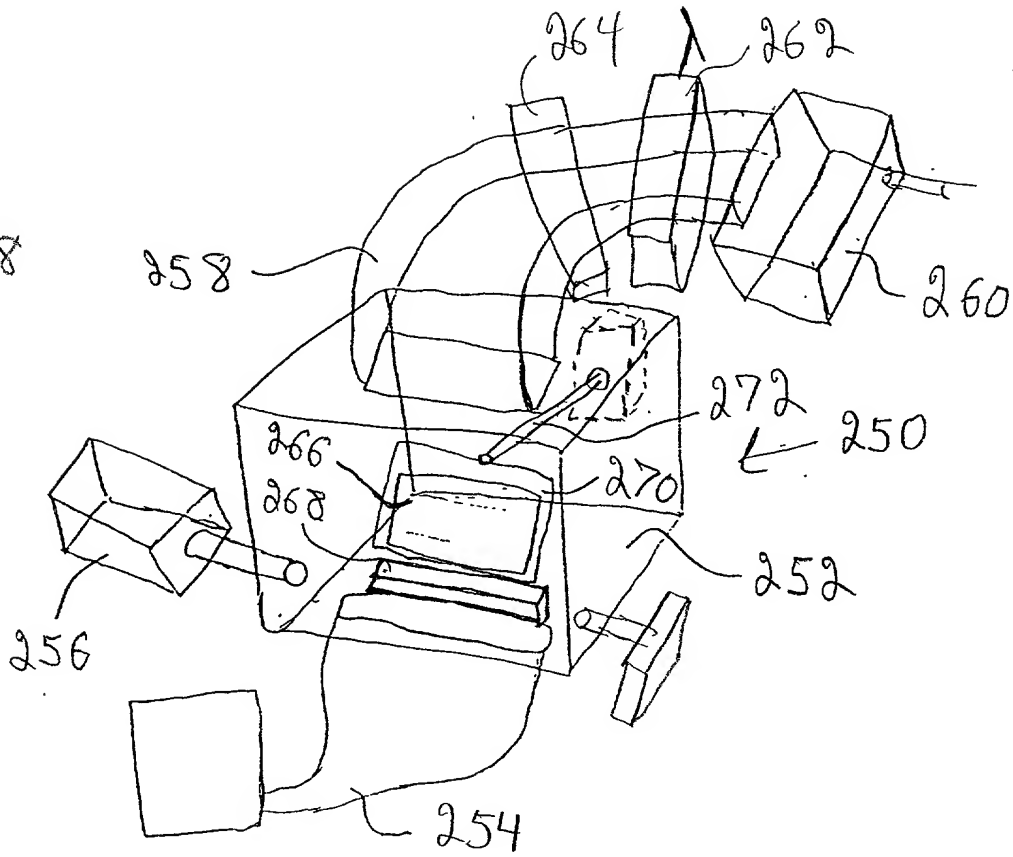


Fig. 9

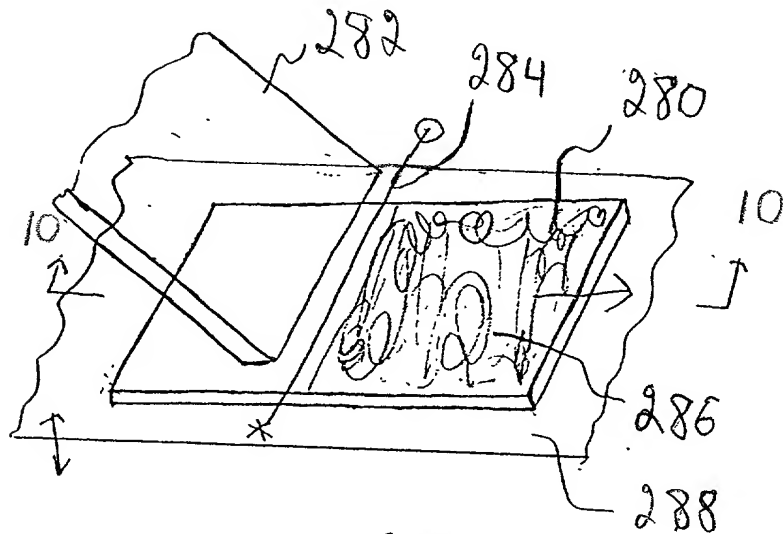
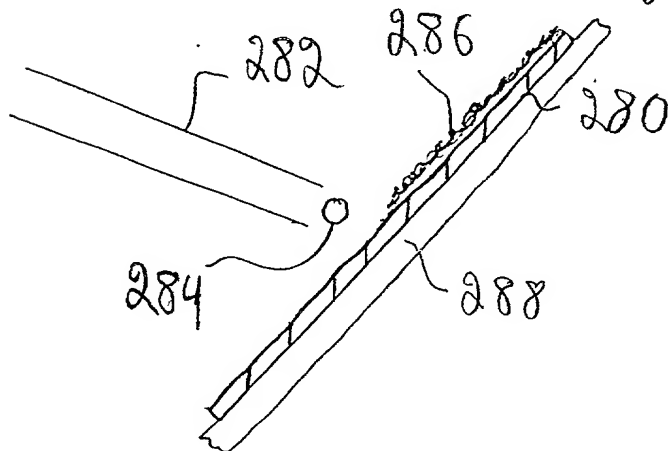
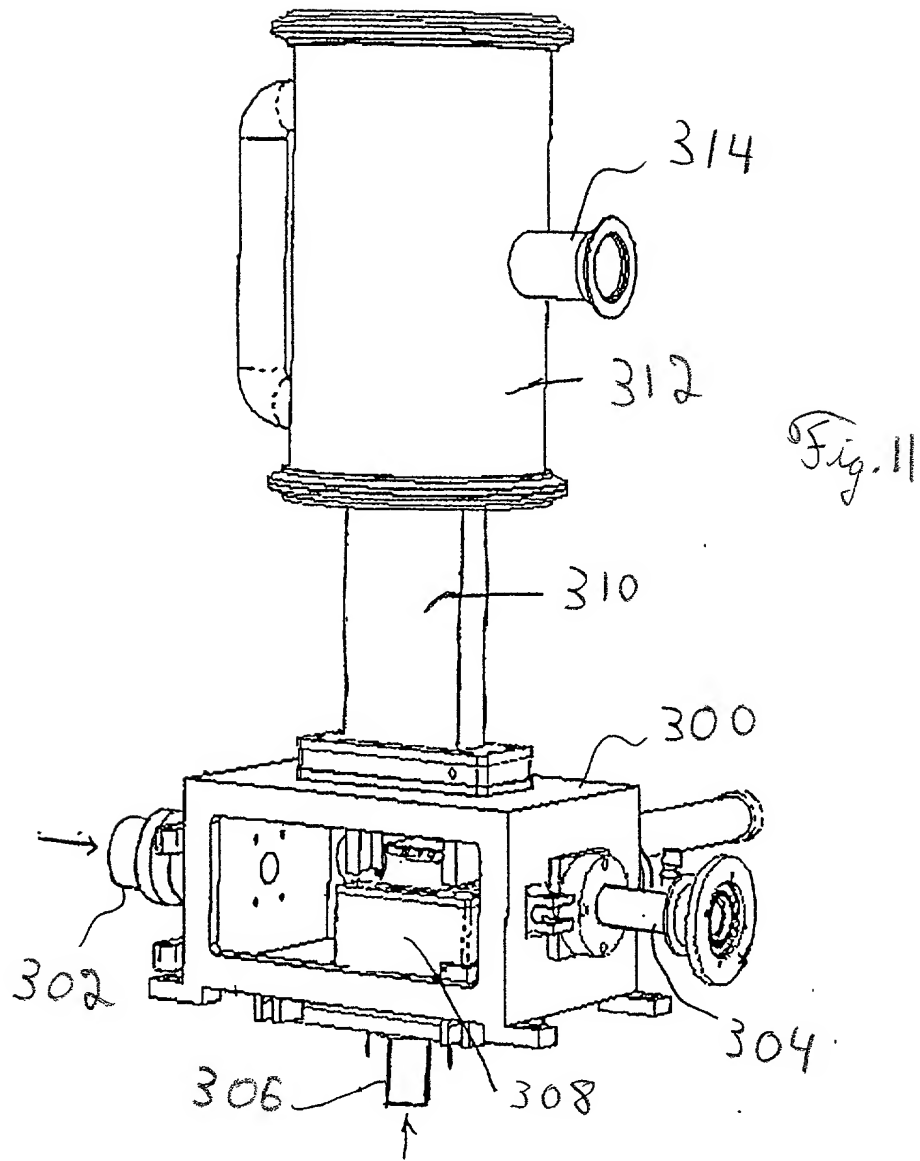
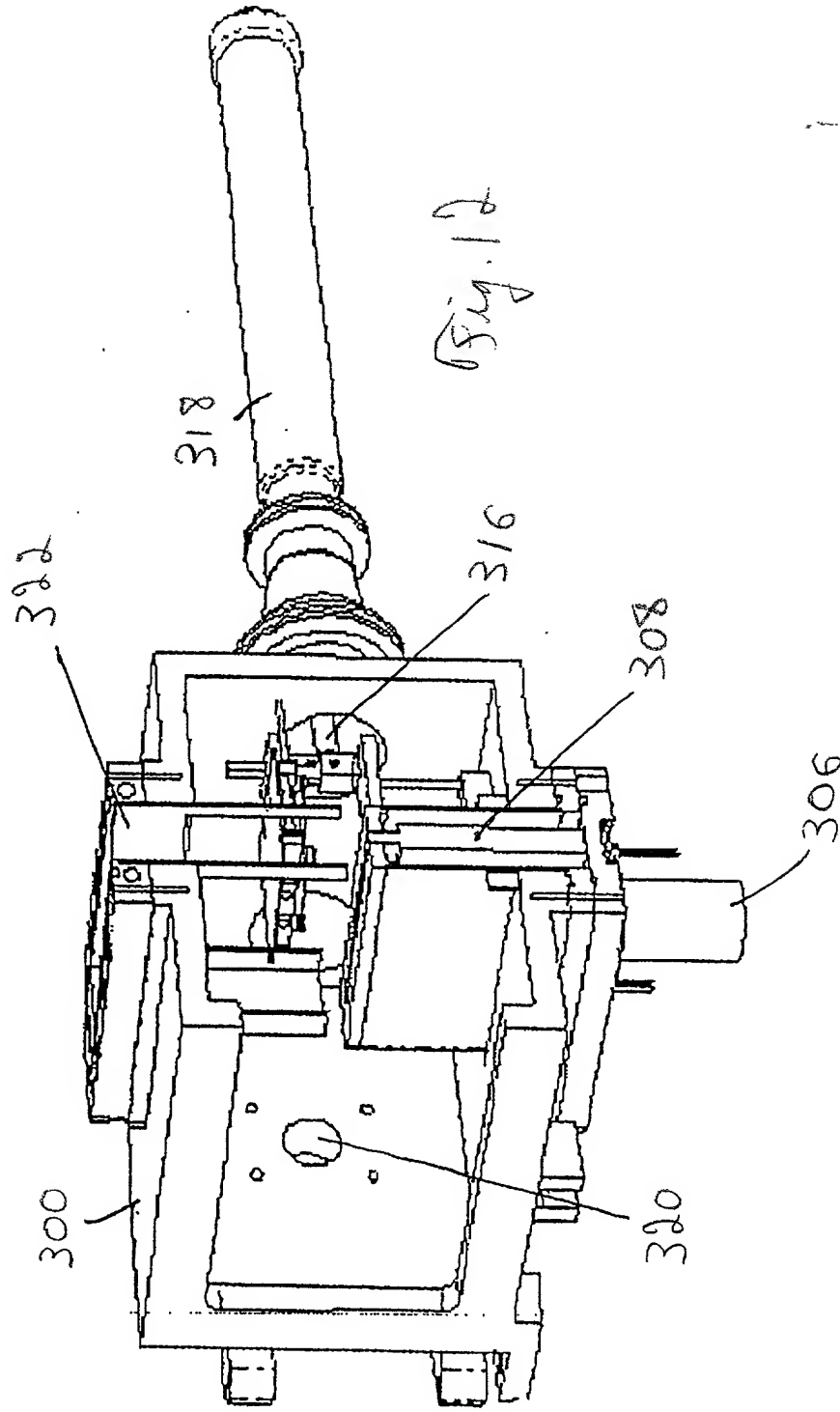


Fig. 10







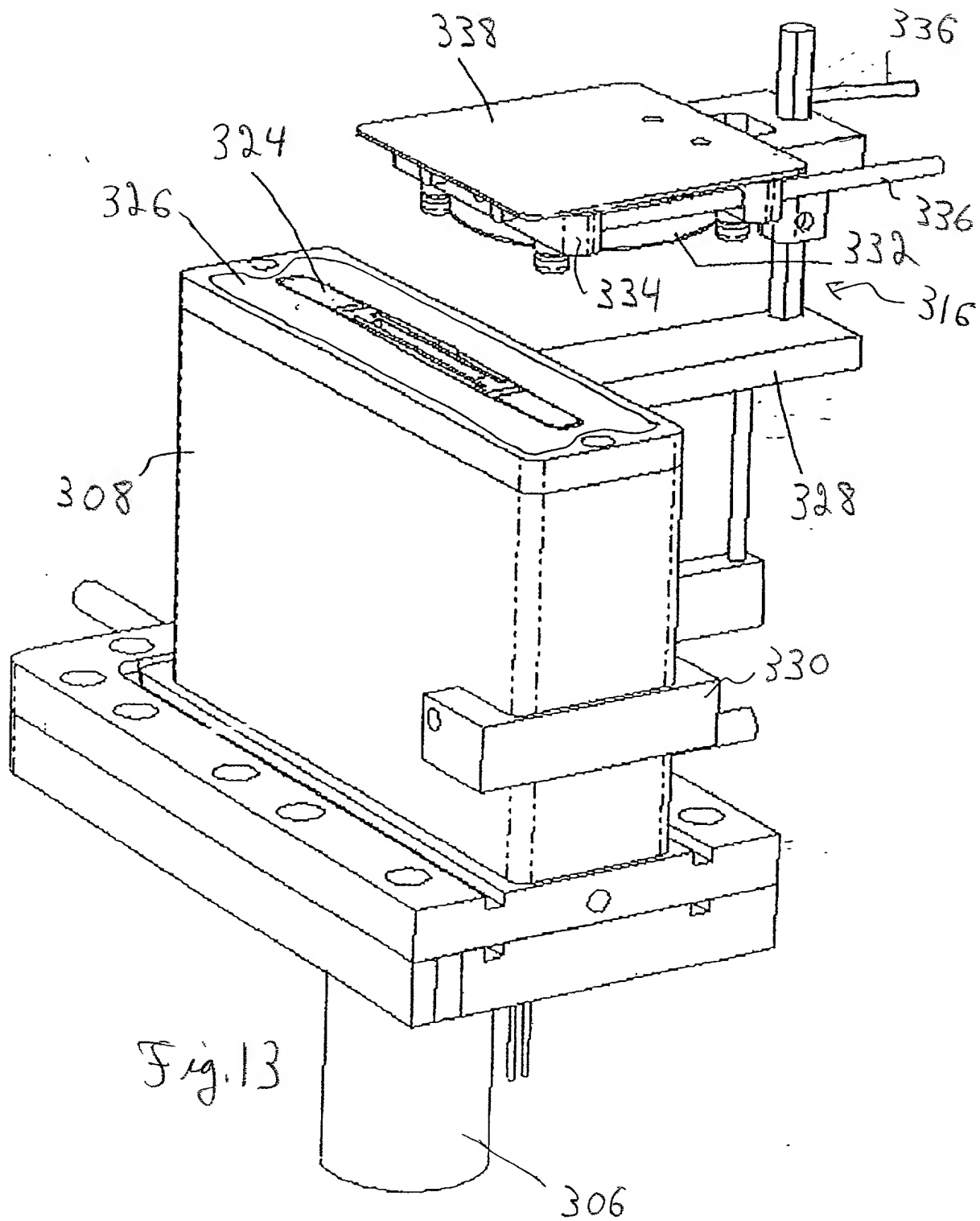


Fig. 13



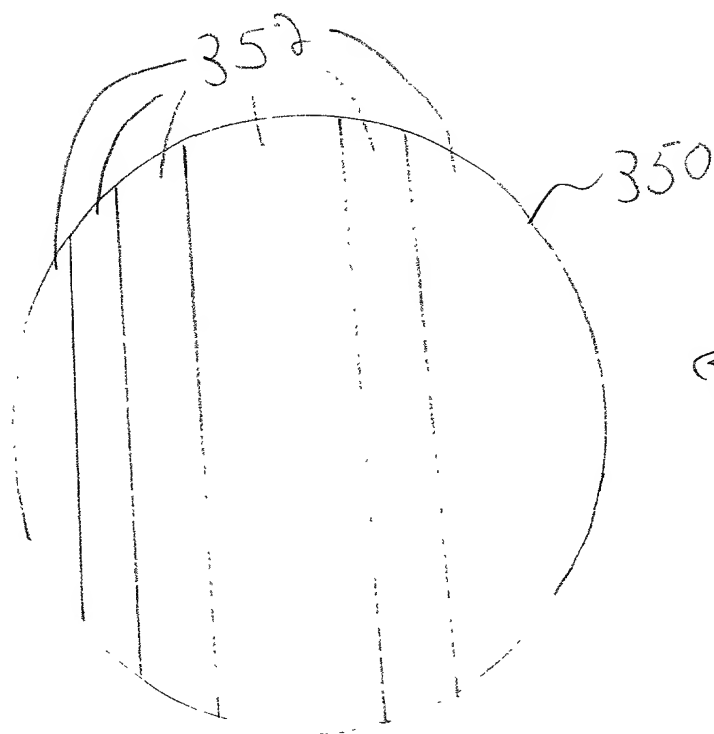


Fig. 14

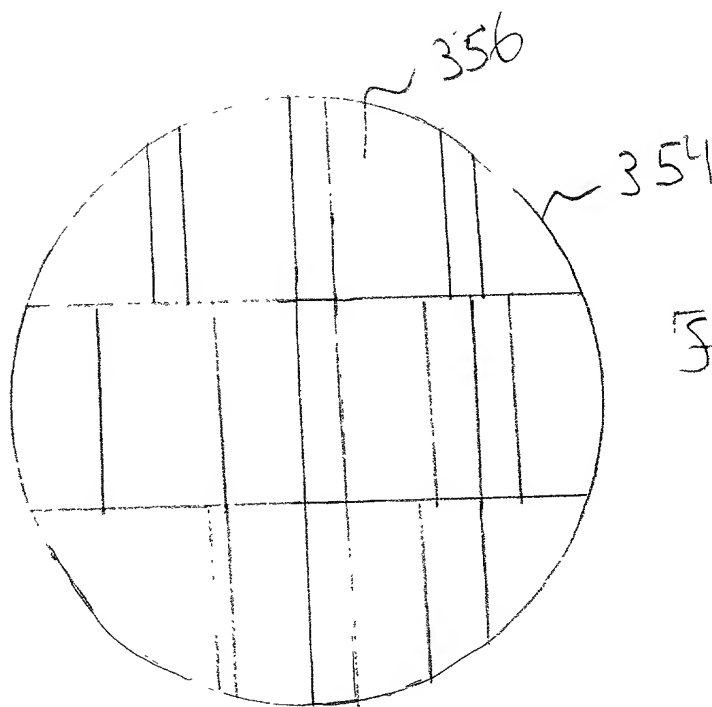
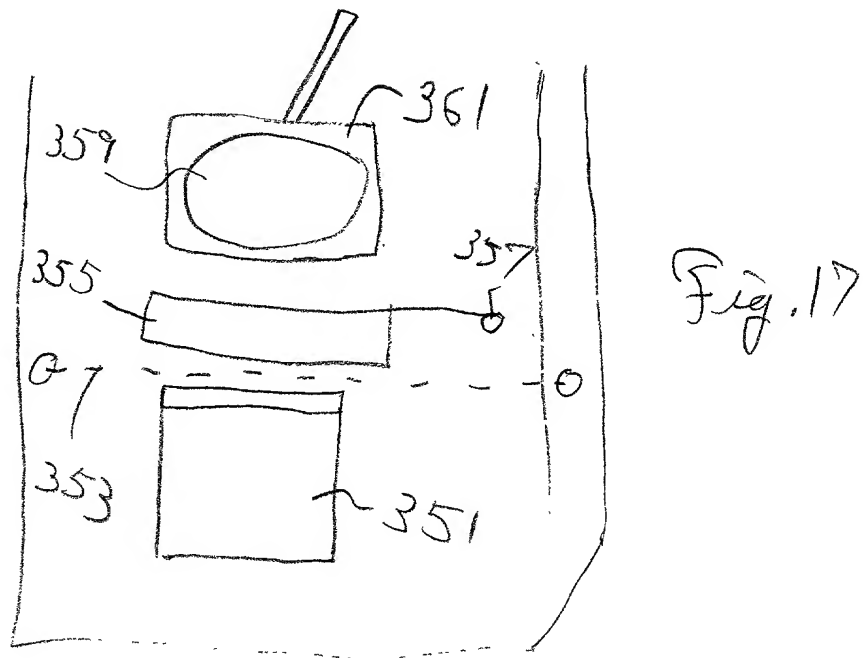
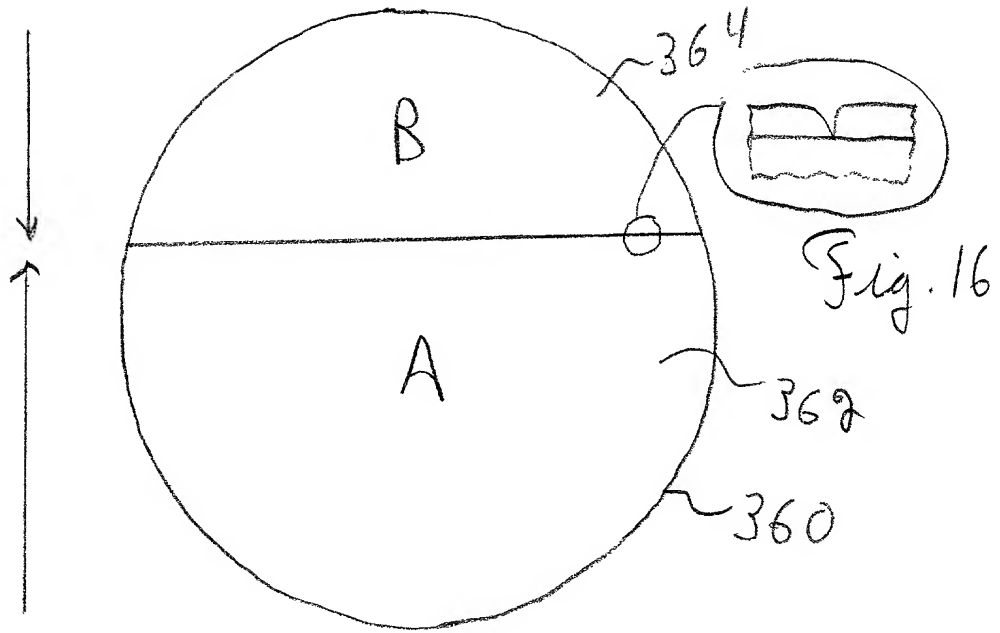
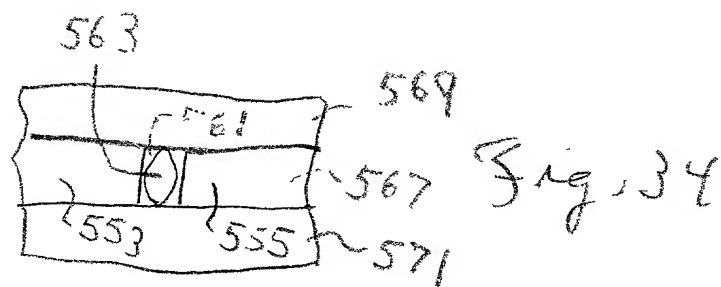
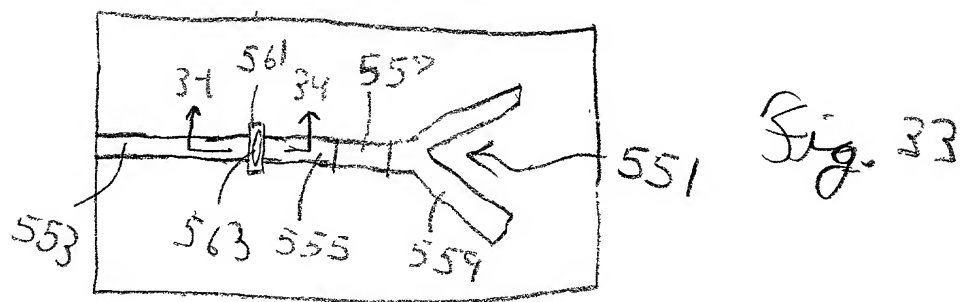
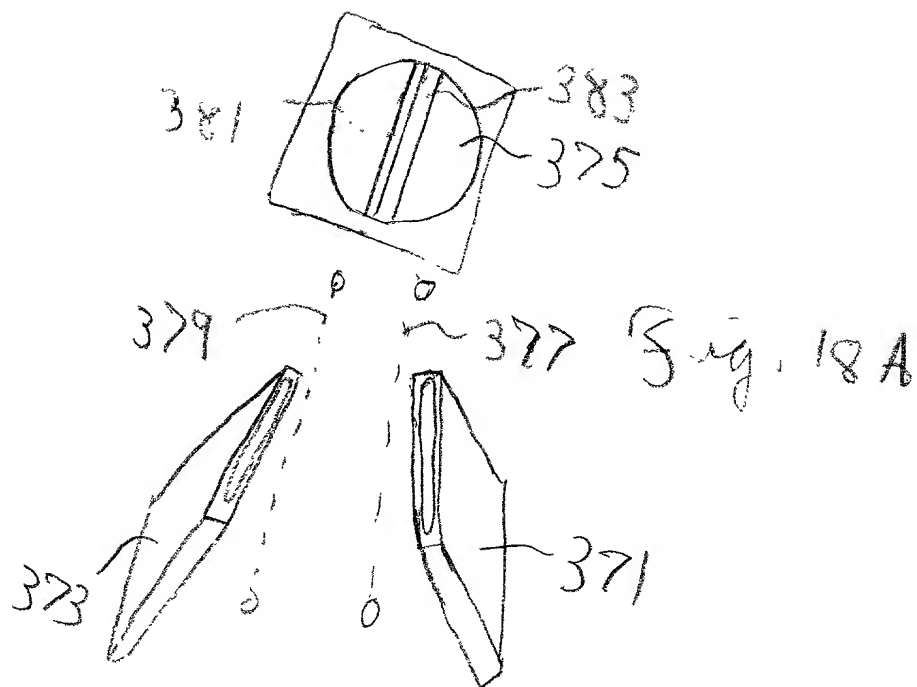


Fig. 15





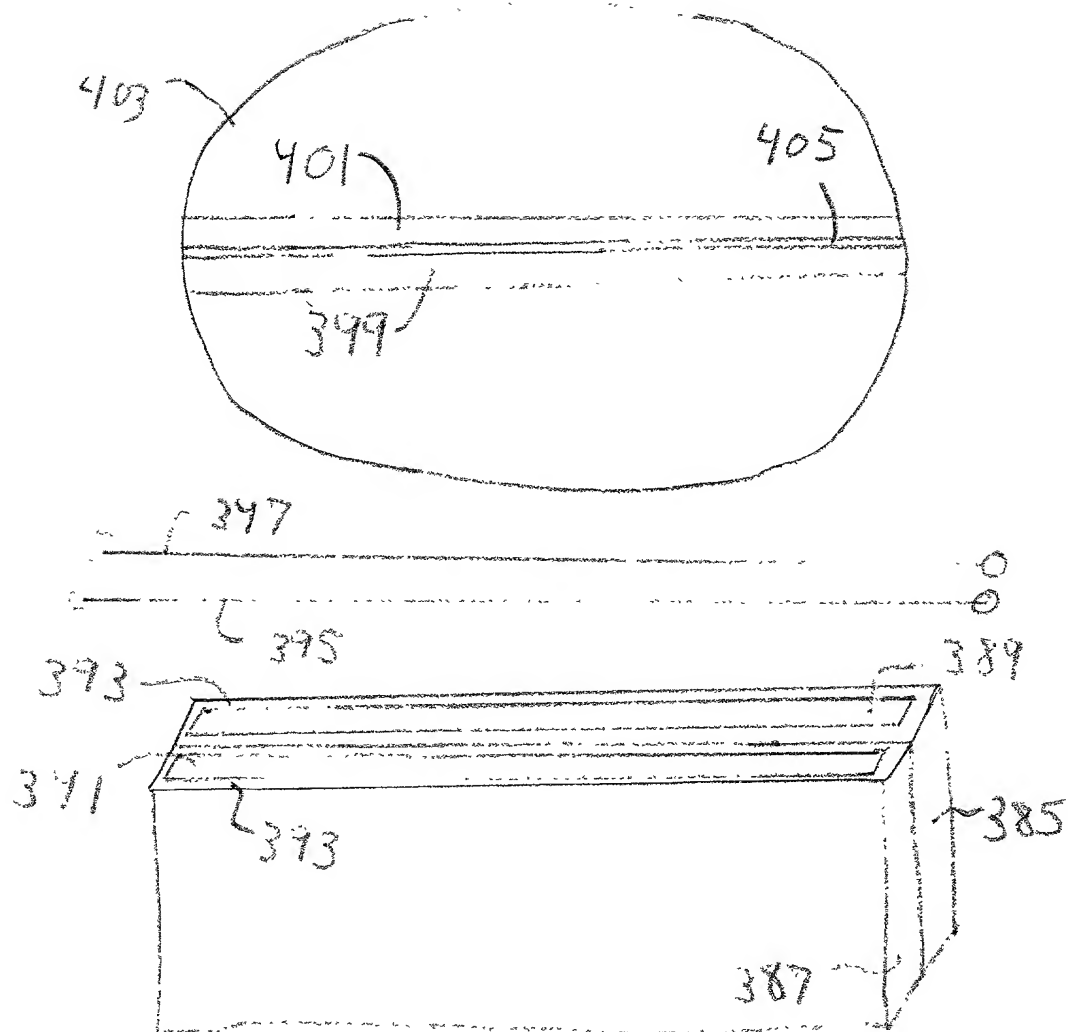


Fig. 18B

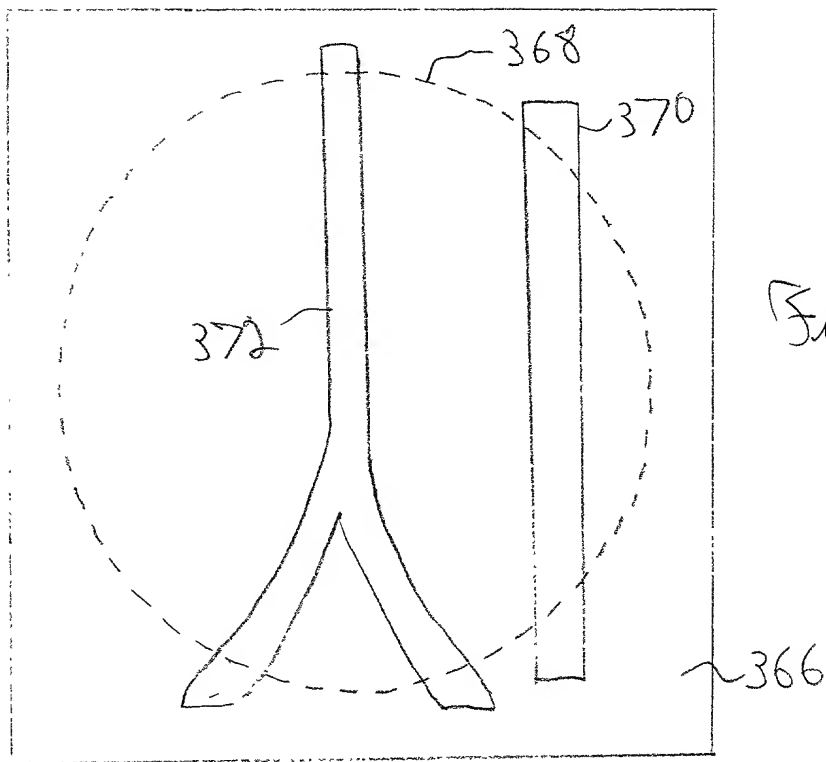


Fig. 19

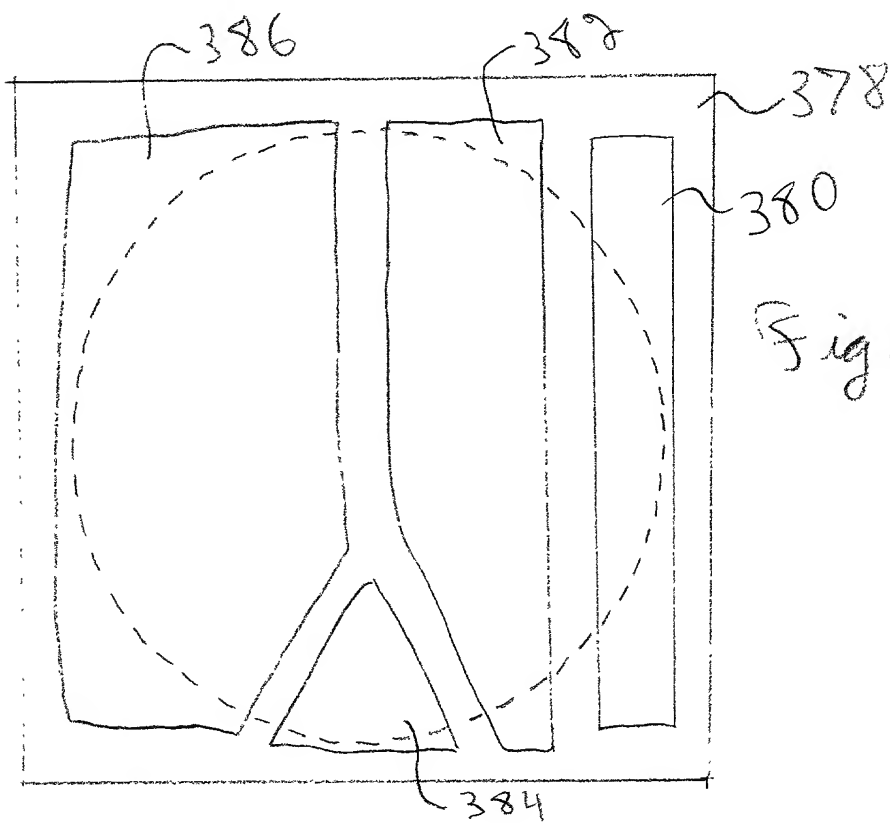


Fig. 20

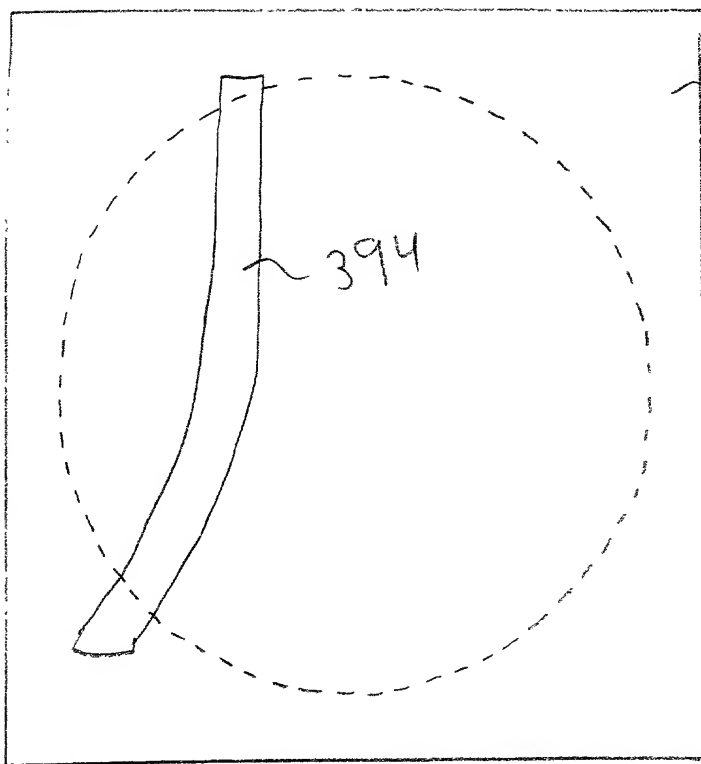


Fig. 21

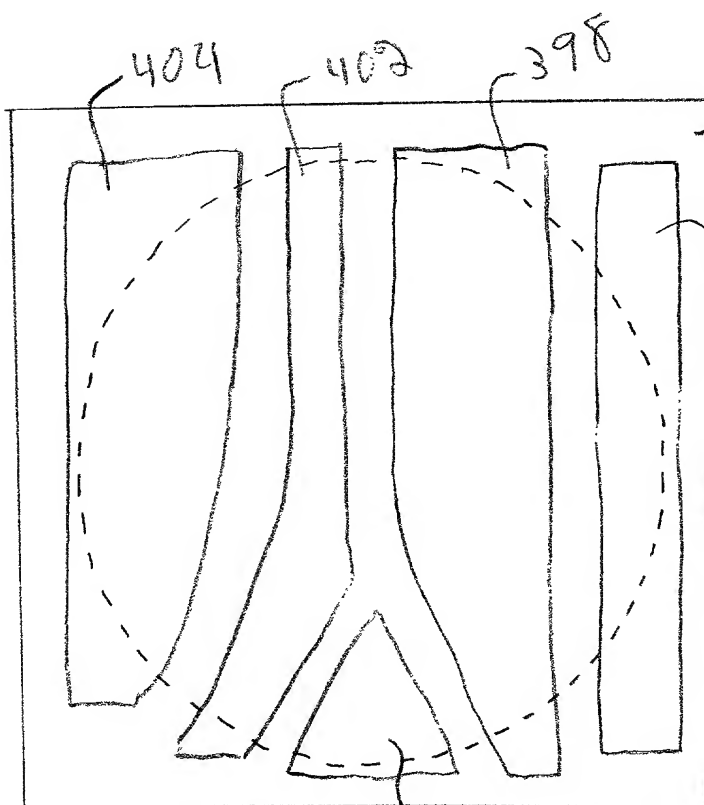


Fig. 22

10027906 122101

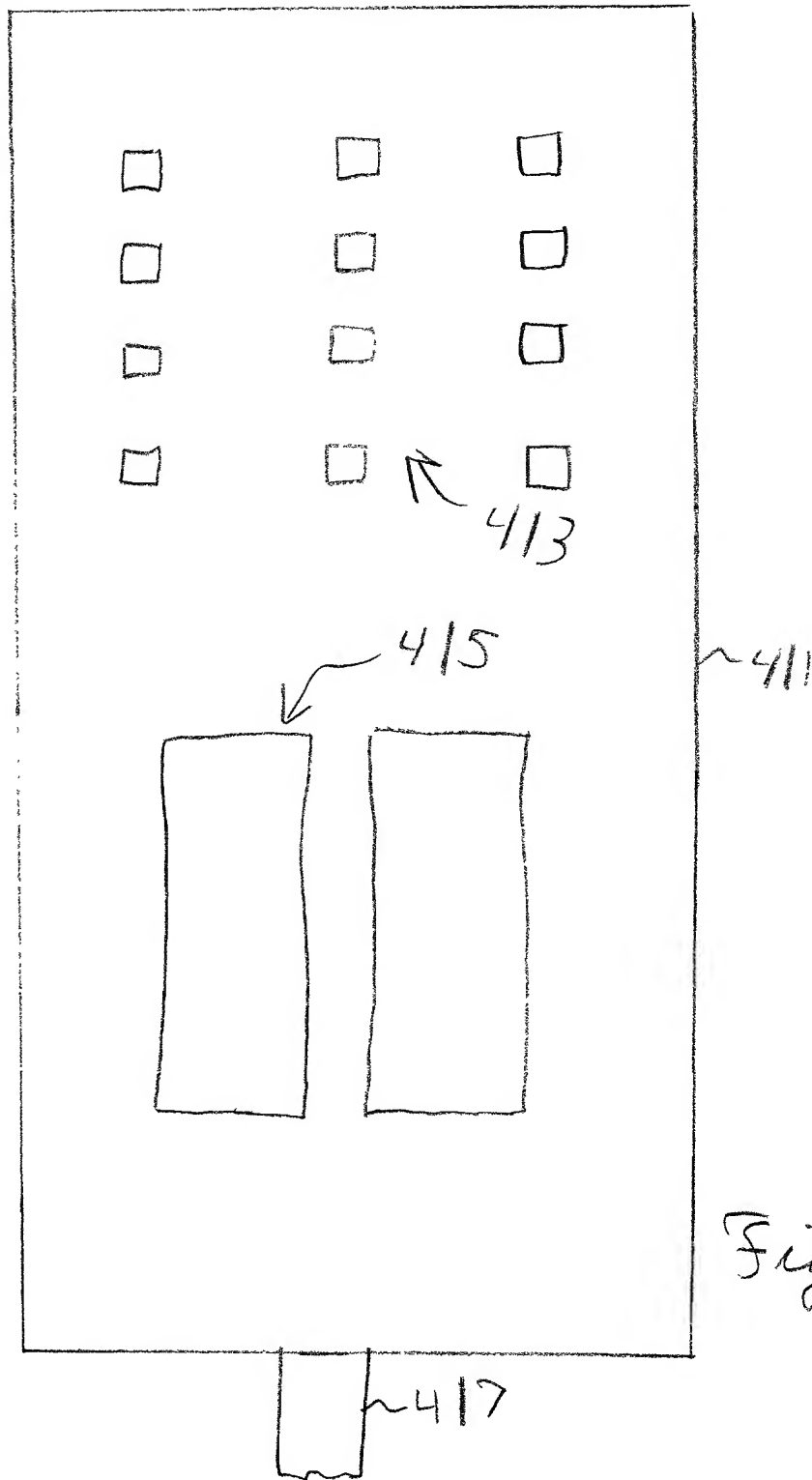
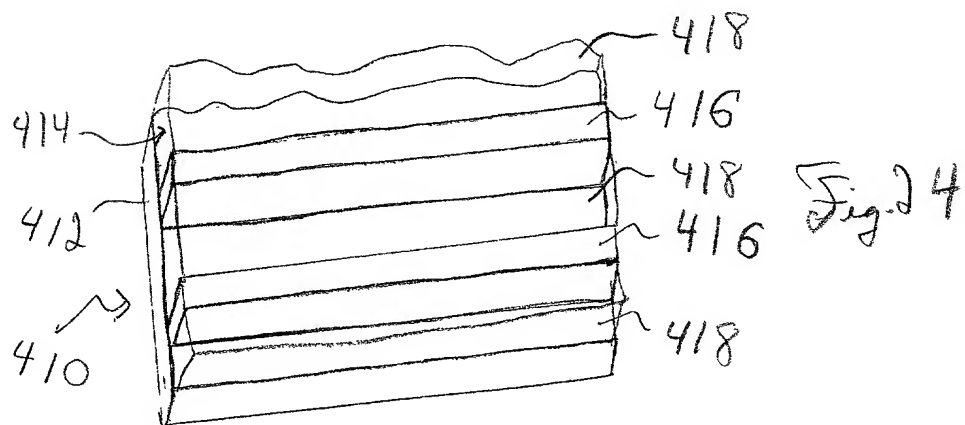
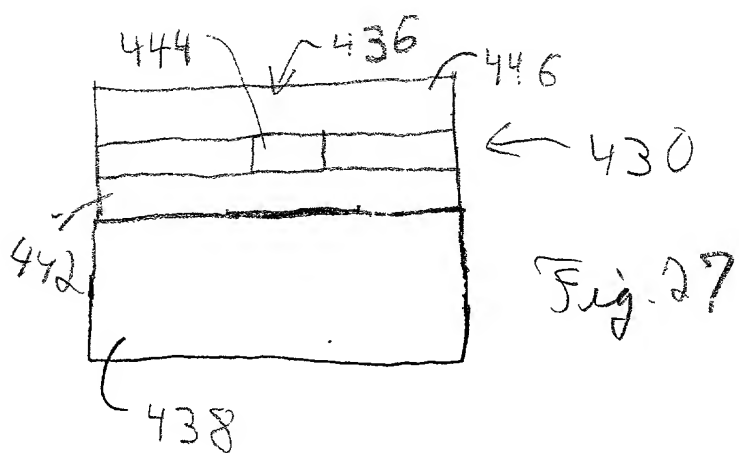
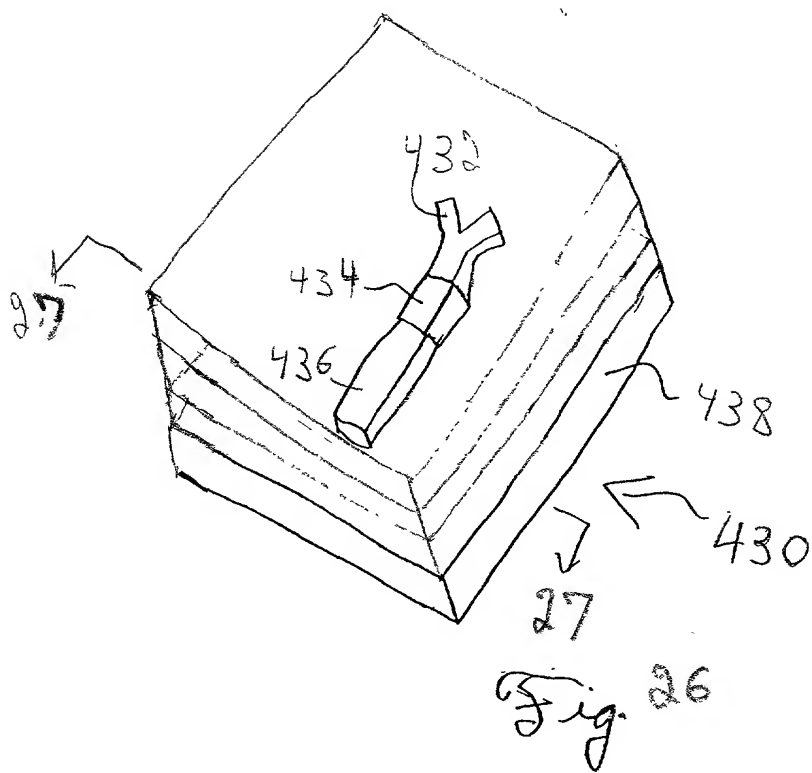
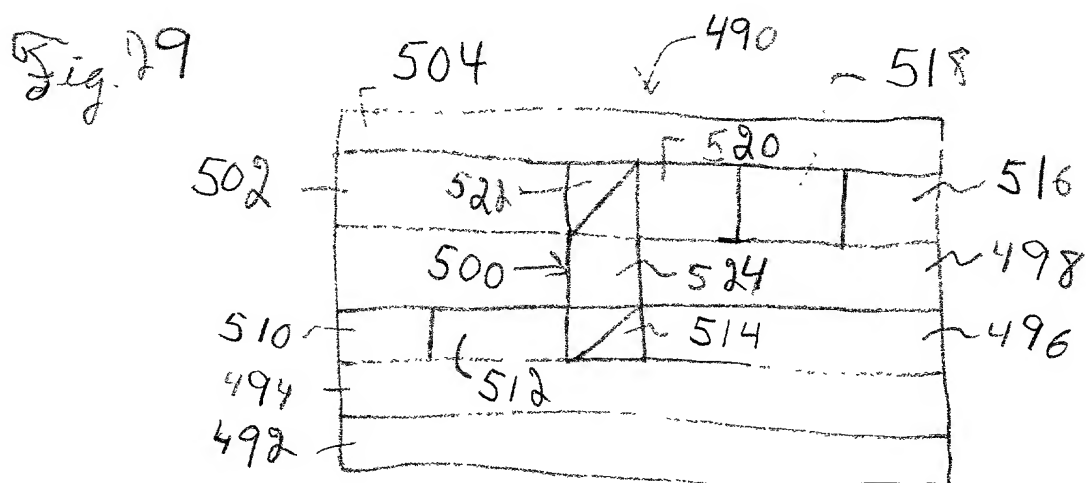
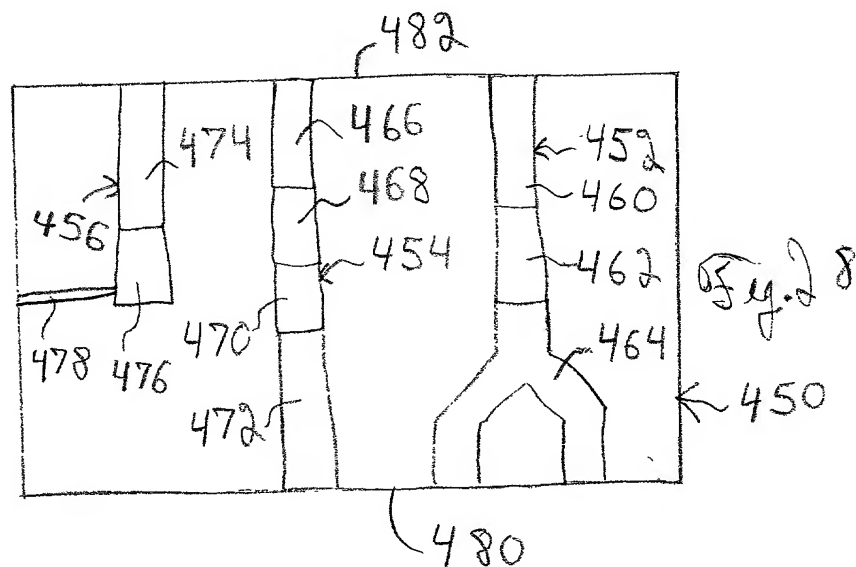
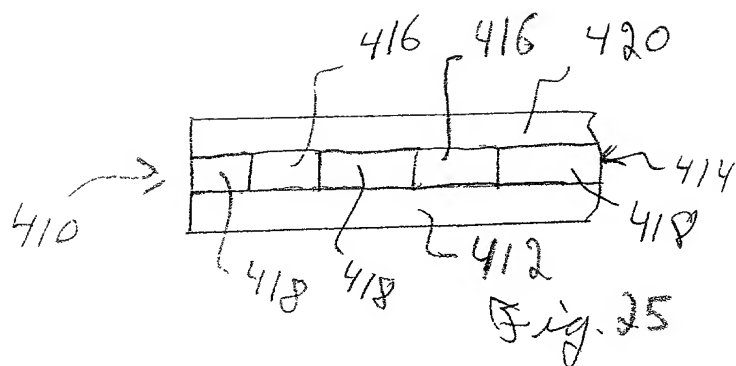
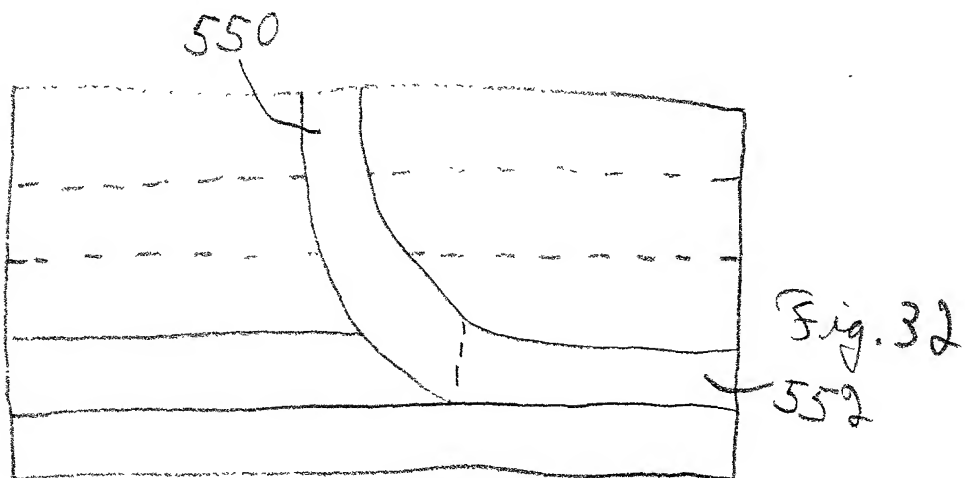
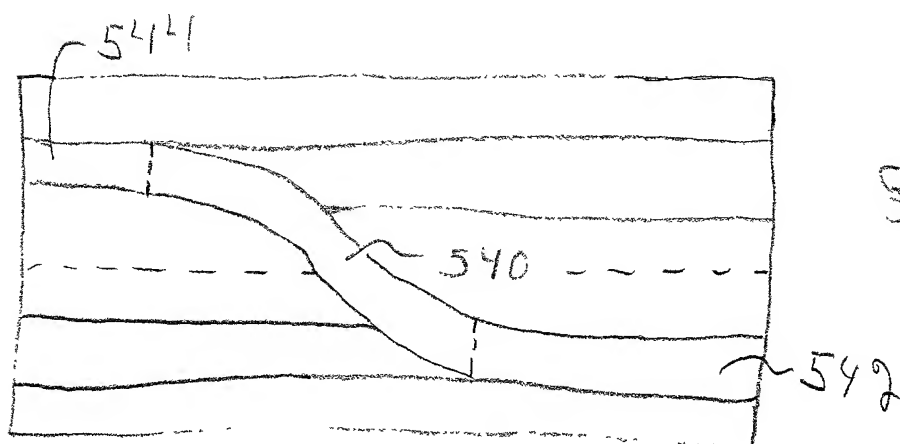
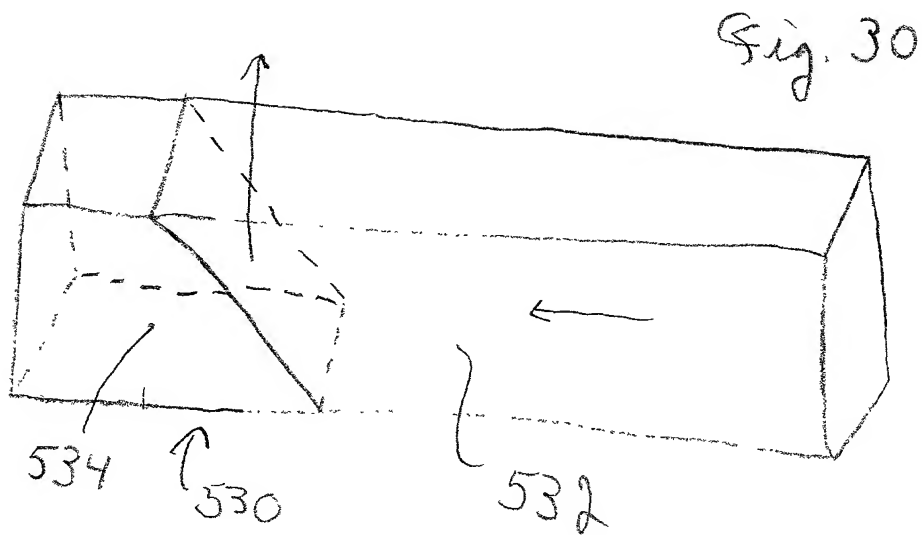


Fig. 23

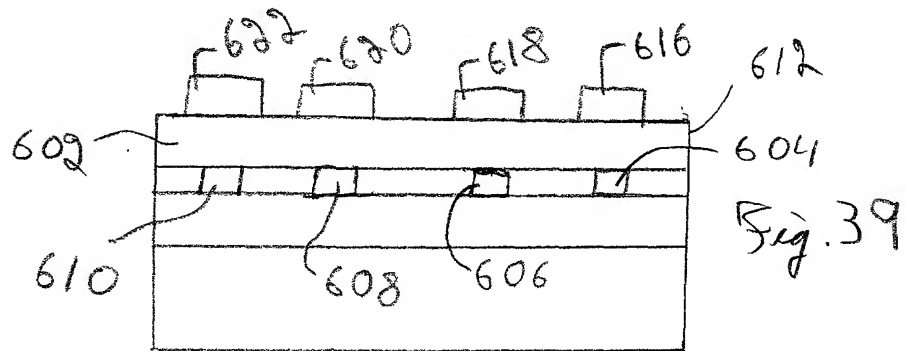
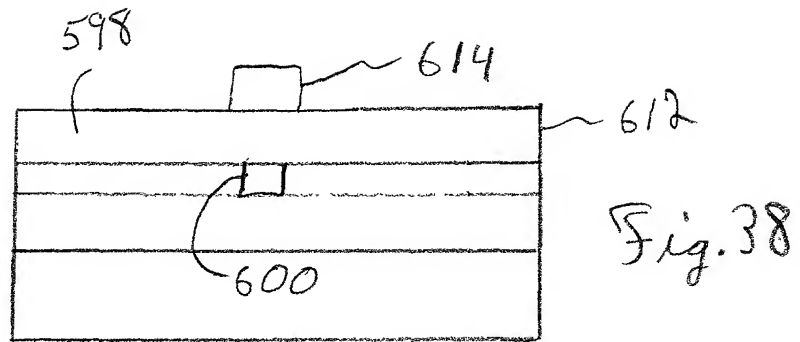




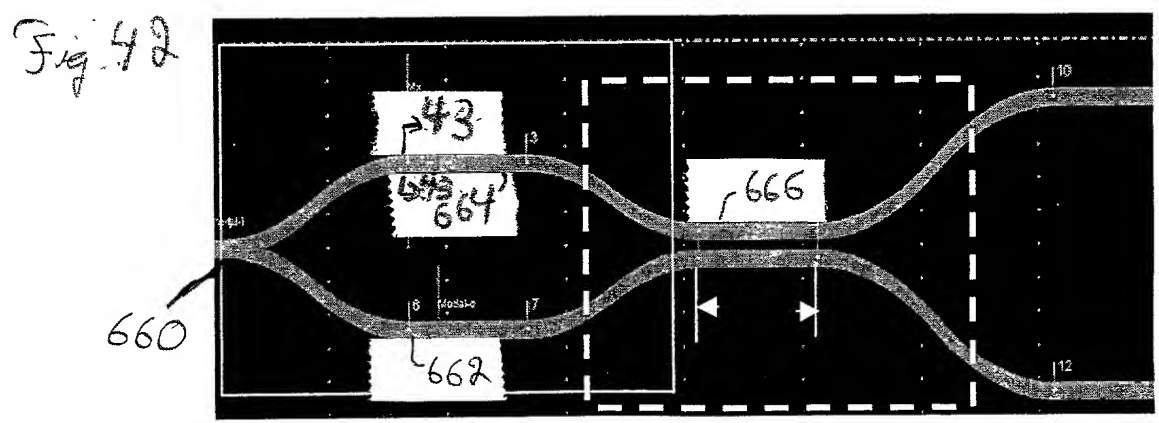
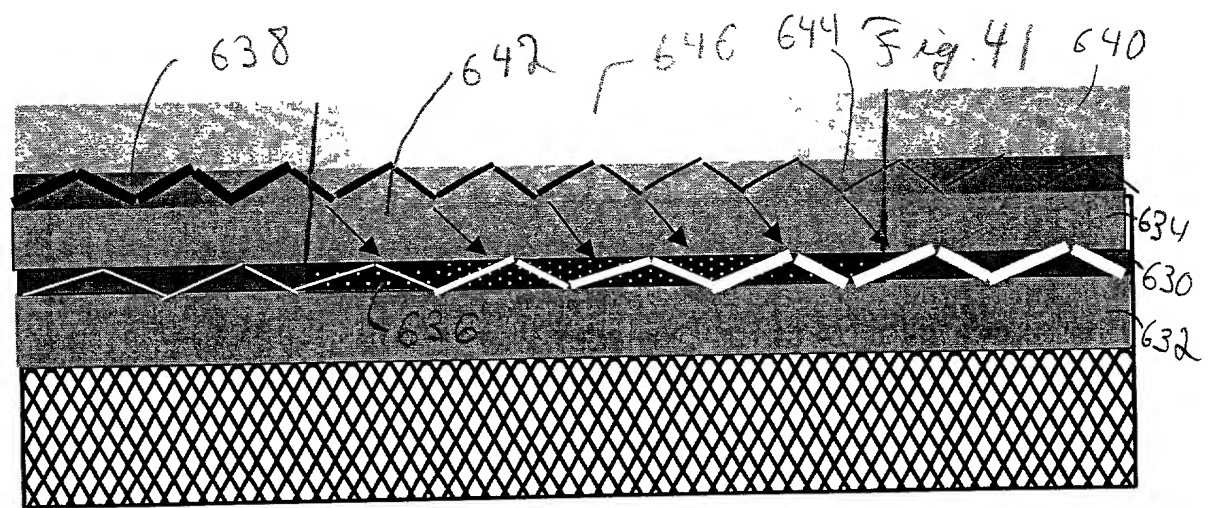
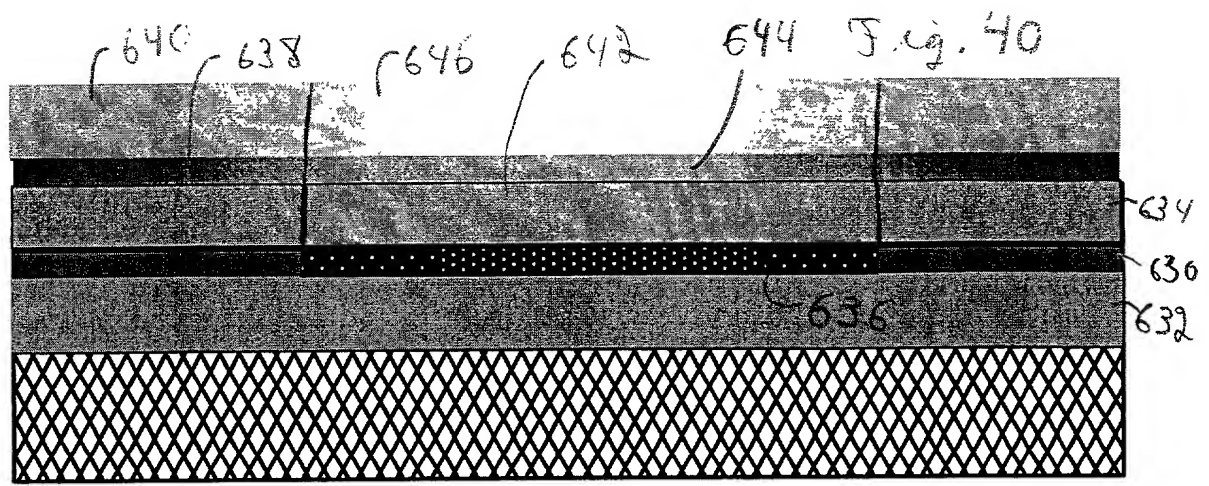








10027906.12101



10027906-122101

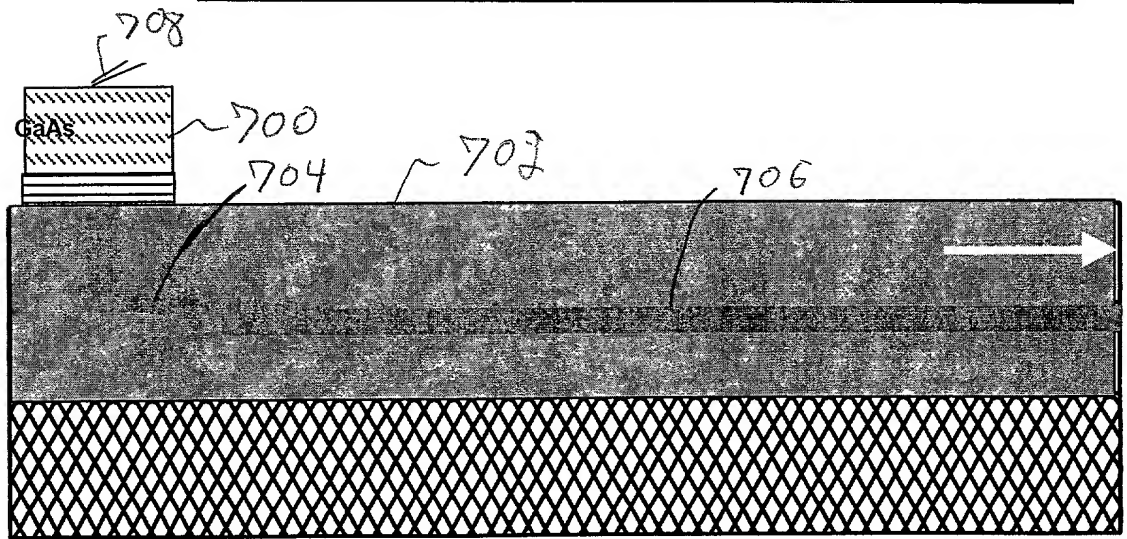
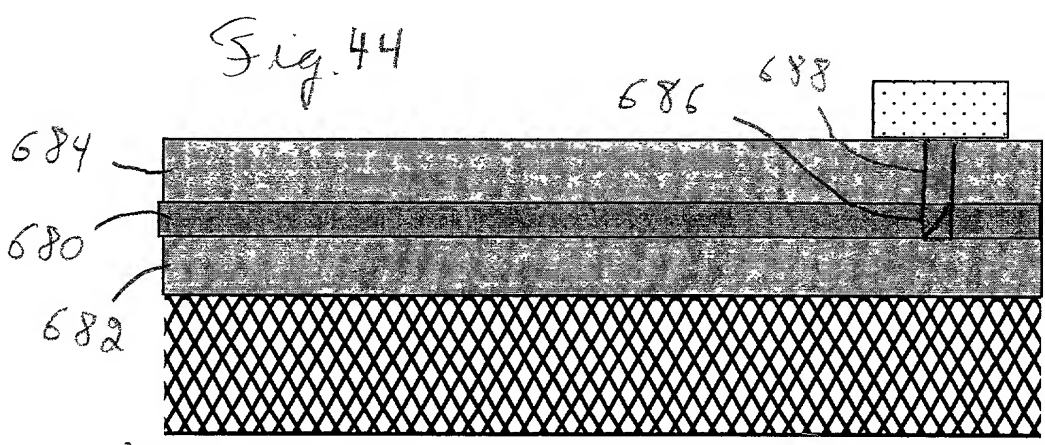
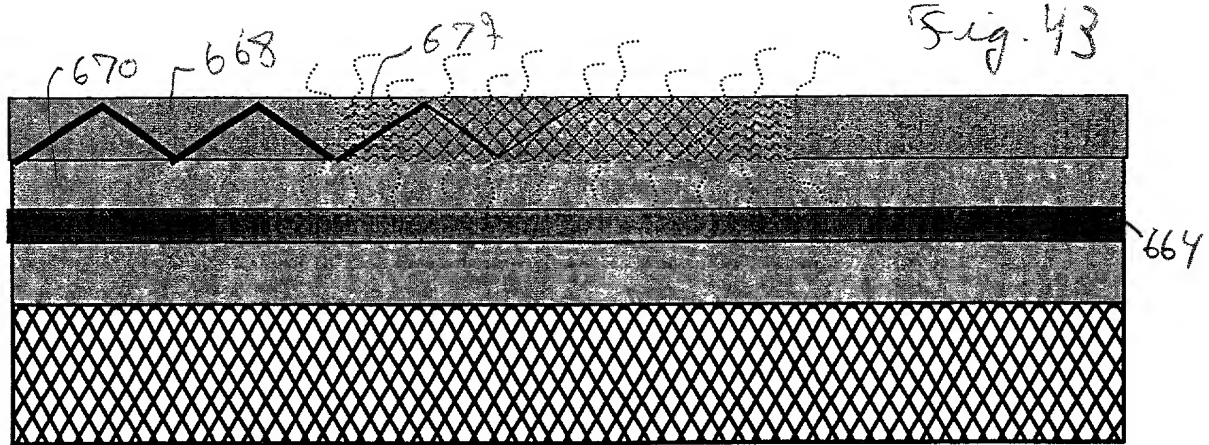
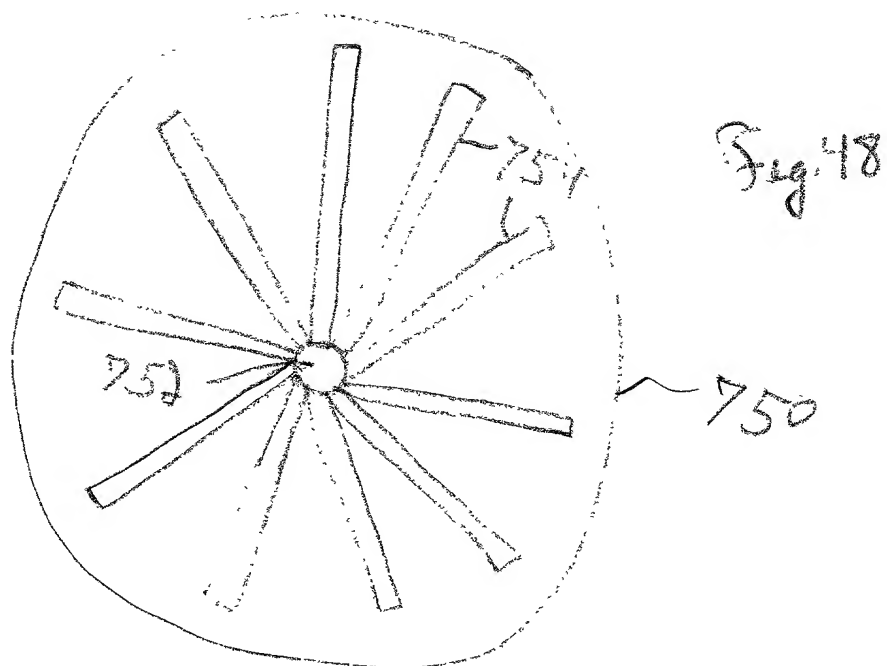


Fig. 45



10027906 422401

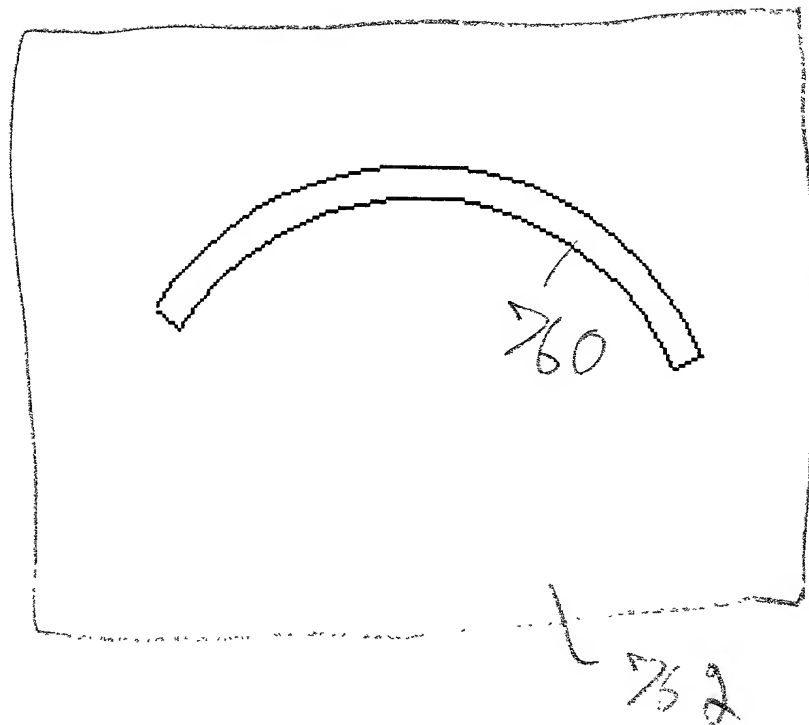


Fig. 49

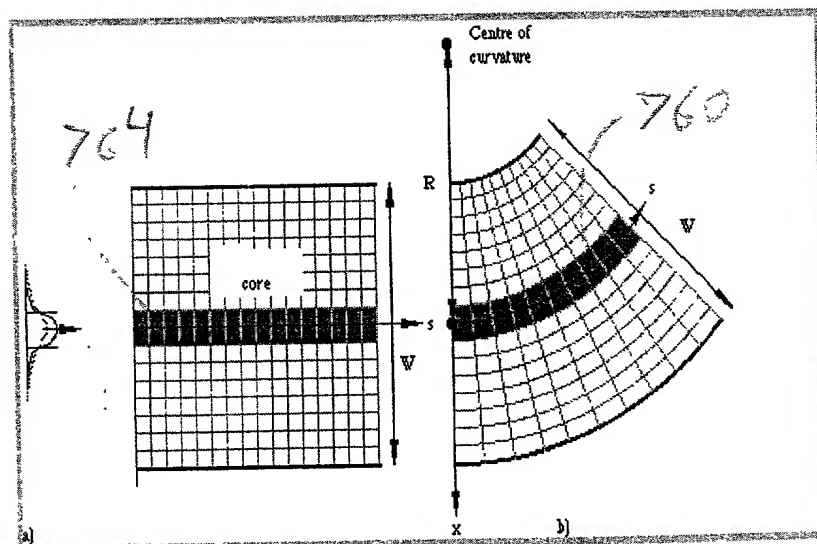


Fig 50